# 及业环境计学学报 JOURNAL OF AGRO-ENVIRONMENT SCIENCE

### 中文核心期刊/CSCD

请通过网上投稿系统投稿 网址: http://www.aes.org.cn

#### 增温条件下施硅对稻田CH4厌氧氧化过程的影响

谢晴, 薛梦琪, 周聪, 张耀鸿, 娄运生, 高霄鹏, 贾仲君

#### 引用本文:

谢晴, 薛梦琪, 周聪, 张耀鸿, 娄运生, 高霄鹏, 贾仲君. 增温条件下施硅对稻田CH<sub>4</sub>厌氧氧化过程的影响[J]. 农业环境科学学报, 2023, 42(2): 472-480.

在线阅读 View online: https://doi.org/10.11654/jaes.2022-0505

#### 您可能感兴趣的其他文章

Articles you may be interested in

#### 不同遮阴处理下施肥对稻田CH4和N2O排放的影响

王坤, 娄运生, 邢钰媛, 刘健

农业环境科学学报. 2021, 40(2): 464-472 https://doi.org/10.11654/jaes.2020-0953

#### 施用生物炭和硅肥对增温水稻叶片光合及荧光特性的影响

邢钰媛, 娄运生, 王坤, 刘健

农业环境科学学报. 2021, 40(2): 451-463 https://doi.org/10.11654/jaes.2020-0879

#### 有机无机肥配施对苹果园温室气体排放的影响

马艳婷, 赵志远, 冯天宇, SOMPOUVISETThongsouk, 孔旭, 翟丙年, 赵政阳 农业环境科学学报. 2021, 40(9): 2039–2048 https://doi.org/10.11654/jaes.2020–1477

#### 延长烤田时间减少紫云英翻压稻田甲烷排放

王赢, 林余涛, 杨文斌, 王家嘉, 左双宝, 宋朝辉, 周楠楠 农业环境科学学报. 2022, 41(8): 1836-1845 https://doi.org/10.11654/jaes.2021-1448

#### 不同水分对半干旱地区砂壤土温室气体排放的短期影响

李平,魏玮,郎漫

农业环境科学学报. 2021, 40(5): 1124-1132 https://doi.org/10.11654/jaes.2021-1377



关注微信公众号, 获得更多资讯信息

谢晴, 薛梦琪, 周聪, 等. 增温条件下施硅对稻田 CH4厌氧氧化过程的影响[J]. 农业环境科学学报, 2023, 42(2): 472-480.

XIE Q, XUE M Q, ZHOU C, et al. Effects of silicon application on anaerobic CH4 oxidation in a paddy field under nighttime warming[J].

Journal of Agro-Environment Science, 2023, 42(2): 472-480.



开放科学OSID

### 增温条件下施硅对稻田 CH4 厌氧氧化过程的影响

谢晴1,薛梦琪1,2,周聪1,2,张耀鸿1\*,娄运生1,高霄鹏3,贾仲君2

(1.南京信息工程大学气象灾害预报预警与评估协同创新中心/江苏省农业气象重点实验室,南京 210044; 2.中国科学院南京土壤研究所土壤与农业可持续发展国家重点实验室,南京 210008; 3.加拿大曼尼托巴大学土壤科学系,加拿大 温尼伯 R3T2N2)

摘 要: 硅是水稻生长的有益元素,为研究施硅对稻田 CH4厌氧氧化过程的影响以及是否会改变夜间增温对该过程的影响效应,本试验设置夜间常温不施硅(CK)、夜间增温不施硅(NW)、夜间常温施硅(Si)和夜间增温施硅(NW+Si)4个处理。采集上述田间处理 4 a 后的耕层土壤,采用<sup>13</sup>CH4同位素标记法研究稻田土壤 CH4厌氧氧化速率和固碳特征及其对氮输入的响应。结果表明:NW 处理的 CH4厌氧氧化速率为 6.23 nmol·g<sup>-1</sup>·d<sup>-1</sup>(以 <sup>13</sup>CO<sub>2</sub>计),显著低于 CK 处理;与 NW 处理相比,NW+Si 处理的 CH4厌氧氧化速率提高了 22%。NW 处理土壤中 CH4氧化驱动的 <sup>13</sup>C 有机碳净增量(<sup>13</sup>C-SOC)为 0.31 μmol·g<sup>-1</sup>,与 NW+Si 无明显差异,这表明增温条件下施硅对稻田土壤 CH4厌氧氧化的固碳量无明显影响。添加 N 条件下 4 个稻田土壤的 CH4厌氧氧化速率总体上明显减小,其中以 Si 处理土壤最为突出,下降 29%~50%。相反,N 添加提高了 CH4厌氧氧化的固碳效率[<sup>13</sup>C-SOC/(<sup>13</sup>C-SOC/(<sup>13</sup>C-SOC+<sup>13</sup>CO<sub>2</sub>)]。研究表明,施硅可缓解夜间增温对稻田 CH4氧化速率的抑制作用,但对其固碳量无明显影响;外源 N 可提高增温/施硅稻田土壤 CH4厌氧氧化的固碳效率,有利于将较高比例的 <sup>13</sup>C-CH4碳源固定到土壤有机碳中。

关键词:甲烷; 厌氧氧化; 夜间增温; 施硅; 固碳效率; 稻田; 土壤

中图分类号: X71;S154.1 文献标志码: A 文章编号: 1672-2043(2023)02-0472-09 doi:10.11654/jaes.2022-0505

#### Effects of silicon application on anaerobic CH<sub>4</sub> oxidation in a paddy field under nighttime warming

XIE Qing<sup>1</sup>, XUE Mengqi<sup>1,2</sup>, ZHOU Cong<sup>1,2</sup>, ZHANG Yaohong<sup>1\*</sup>, LOU Yunsheng<sup>1</sup>, GAO Xiaopeng<sup>3</sup>, JIA Zhongjun<sup>2</sup>

(1. Collaborative Innovation Center for Forecast and Evaluation of Meteorological Disasters / Jiangsu Provincial Key Laboratory of Agricultural Meteorology, Nanjing University of Information Science and Technology, Nanjing 210044, China; 2. State Key Laboratory of Soil and Sustainable Agriculture, Institute of Soil Science, Chinese Academy of Sciences, Nanjing 210008, China; 3. Department of Soil Science, University of Manitoba, Winnipeg R3T2N2, Canada)

**Abstract**: Si is a beneficial element for rice growth. The effects of Si application on the CH<sub>4</sub> oxidation process in paddy fields and whether it will change the effect of nighttime warming on this process are still unclear. In this study, the four treatments included no Si application at ambient nighttime temperature (CK) and at nighttime warming (NW), and silicon application at ambient nighttime temperature (Si) and at nighttime warming (NW+Si). The surface soils were collected after four years of the above–mentioned treatments, and the <sup>13</sup>CH<sub>4</sub> isotope labeling method was used to study the anaerobic CH<sub>4</sub> oxidation rates, its <sup>13</sup>C sequestration, and its response to nitrogen (N) fertilization. The results showed that the anaerobic CH<sub>4</sub> oxidation rate under NW treatment, which was 6.23 nmol • g<sup>-1</sup> • d<sup>-1</sup> (in terms of <sup>13</sup>CO<sub>2</sub>), was significantly lower than that under CK treatment. The rate of NW treatment significantly increased by 22% under NW+Si treatment. The net

收稿日期:2022-05-19 录用日期:2022-08-16

作者简介:谢晴(1997—),女,湖南长沙人,硕士研究生,主要从事农业气象学研究。E-mail:448399165@qq.com

<sup>\*</sup>通信作者:张耀鸿 E-mail:yhzhang@nuist.edu.cn

基金项目:国家自然科学基金项目(42175138,91751204,41875177);江苏省研究生科研创新计划项目(KYCX22\_1222)

increment of  $^{13}$ C soil organic carbon ( $^{13}$ C-SOC) driven by  $^{13}$ CH<sub>4</sub> oxidation under NW treatment, which was 0.31  $\mu$ mol  $^{\bullet}$ g<sup>-1</sup> and significantly lower than that in CK paddy soils, was not significantly different than that in NW+Si paddy field. This indicated that Si application had no significant effect on the carbon sequestration of CH<sub>4</sub> anaerobic oxidation in the nighttime warming paddy field. The anaerobic CH<sub>4</sub> oxidation rates of paddy fields substantially decreased 29%–50% under N fertilization, especially in paddy soils under Si treatment. In contrast, N fertilization remarkably increased the carbon sequestration efficiency [ $^{13}$ C-SOC/( $^{13}$ C-SOC+( $^{13}$ CO<sub>2</sub>)] of CH<sub>4</sub> anaerobic oxidation. In conclusion, silicon application could alleviate the inhibitory effect of nighttime warming on the CH<sub>4</sub> oxidation process in paddy fields but had no significant effect on carbon sequestration. N fertilization could improve the carbon sequestration efficiency of CH<sub>4</sub> anaerobic oxidation in paddy fields, which favored fixing a higher proportion of  $^{13}$ C-CH<sub>4</sub> into soil organic carbon in the process of CH<sub>4</sub> oxidation.

Keywords: methane; anaerobic oxidation; nighttime warming; silicon application; carbon sequestration efficiency; paddy field; soil

甲烷(CH<sub>4</sub>)是一种重要的温室气体,其全球增温 潜势(GWP)在百年尺度上是CO<sub>2</sub>的28倍,且每年以1.2%的速度持续增加<sup>[1]</sup>,约占每年人为温室气体排放总量的16%,对全球变暖的贡献达到30%<sup>[2]</sup>。稻田是陆地生态系统重要的CH<sub>4</sub>排放源,据估算,稻田CH<sub>4</sub>排放约占全球CH<sub>4</sub>总排放量的17%<sup>[3]</sup>。稻田土壤中产生的CH<sub>4</sub>气体在进入大气之前大部分被氧化消耗,厌氧氧化过程是CH<sub>4</sub>消减的最主要过程;CH<sub>4</sub>厌氧氧化作用在整个稻田剖面的厌氧环境中普遍发生,该过程由厌氧甲烷氧化细菌/古菌催化完成。CH<sub>4</sub>厌氧氧化对稳定大气CH<sub>4</sub>含量,减缓全球温室效应具有重要意义。

IPCC 第五次报告显示,近半个世纪以来全球平 均地表温度持续变暖,且近地气温增幅呈现明显的昼 夜不对称性,即夜间增幅显著高于白天™。夜间增温 对稻田CH4厌氧氧化过程的影响受到普遍关注。关 于微生物 CH4 厌氧过程对温度的适应性,不同的研究 有不同的结论。有研究者发现反硝化型CH4厌氧氧 化菌属中温微生物的最适温度为30~35 ℃[5],也有研 究者认为该微生物对低温环境具有较好的适应性间; Ettwig 等□发现,随着温度从25 ℃增加至30 ℃,反硝 化型CH4厌氧氧化细菌富集培养物的活性明显提高, 但古菌却逐渐减少直至完全消失。硅是植物的有益 元素之一,且是水稻的必需营养元素。叶片的硅化细 胞对于散射光的透过量为绿色细胞的10倍,使其吸 收更多的光源,促进光合作用;而且可促进碳水化合 物的长距离转运,协调植物的库-源关系[8-9]。有研究 发现,施硅显著降低了稻田 CH4的排放[10-11],而对 CH4 厌氧氧化过程影响的研究鲜有报道。增温和施硅二 者耦合对稻田土壤CH4厌氧氧化过程的影响及其对 氮肥的响应特征,目前尚不清楚,有待深入研究。

为此,本试验采用田间开放式夜间增温系统提供增温环境,开展增温和施硅处理的田间试验,采集耕层稻田土壤,运用<sup>13</sup>CH<sub>4</sub>稳定性同位素标记法研究夜间增

温和施硅对稻田土壤 CH4 厌氧氧化过程的影响,为探索稻田温室气体减排措施提供理论依据和实践途径。

#### 1 材料与方法

#### 1.1 田间试验设计

田间试验在南京信息工程大学(32.0°N,118.8°E) 农业气象试验站进行。该站点属于亚热带湿润气候 区,年均降水量为1100 mm,年均气温为15.6℃。试 验站的土壤为潴育型水稻土,灰马肝土属,质地为壤 质黏土。种植制度为当地典型的稻麦轮作制。

试验站于2016年6月采用田间开放式增温系统 开展增温试验。试验共设4个处理:常温对照+不施 硅(CK)、夜间增温+不施硅(NW)、夜间增温+施硅 (NW+Si)及常温对照+施硅(Si)。采用随机区组试验 设计,每个处理重复3次。小区面积为4 m²(2 m×2 m)。稻麦轮作过程中水稻移栽/小麦播种前,在每个 处理试验区内施入高浓度的氮磷钾复合肥(15-15-15),施用量完全一致,N-P<sub>2</sub>O<sub>5</sub>-K<sub>2</sub>O 均为 200 kg·hm<sup>-2</sup>。 施硅处理的试验区(Si和NW+Si)内施入钢渣硅肥,用 量为 200 kg·hm<sup>-2</sup>。该粉状矿渣型硅肥取自南京钢铁 集团有限公司,pH值为8.9,含有效硅(SiO2)13.8%、铁 16.4%、磷2.1%、钾3.8%。各肥料用量均为一次性施 人。在水稻和小麦生长期间,田间管理、病虫害防治 均依据大田实际情况进行。在每个处理区内采用根 袋法将根际土与非根际土之间用300目尼龙袋隔开。 夜间增温采用被动式增温方式进行,即在试验小区四 周搭设不锈钢管支架,将铝箔反光膜架设于支架上, 在农作物(水稻/小麦)生长期内,夜间(19:00-6:00, 随日长有所增减)用铝箔反光膜覆盖农作物冠层,白 天将铝箔反光膜卷起。随农作物生长发育进程,及时 调整支架高度,使反光膜与农作物冠层始终保持在 0.3 m左右。为了保持各个试验小区植物受光度的一 致性,在常温对照区内也搭设不锈钢管支架,而无反 文业环境科学学报 第42卷第2期

光膜覆盖。采用温度记录仪自动记录作物冠层和土壤 5 cm 处全生育期温度,数据记录间隔为 30 min。前期试验结果表明,与常温对照区相比,水稻冠层和 5 cm 土层的全生育期平均夜温分别提高了  $1.21 \, ^{\circ}$   $0.62 \, ^{\circ}$  ,增温效果明显 $^{[10]}$  。

#### 1.2 土壤样品采集

2020年9月在水稻抽穗期从稻田中采集0~10 cm 的耕层土壤。一部分鲜土用于测定土壤的养分特征指标;另一部分鲜土用于培养试验,测定稻田土壤的 CH4厌氧氧化速率及其固碳量。土壤养分特征分析过程中,土壤有机碳(SOC)采用H2SO4消煮-FeSO4滴定法测定,可溶性有机碳(DOC)采用TOC分析仪测定,土壤总氮(TN)采用凯氏定氮法测定,铵态氮(NHI-N)和硝态氮(NO3-N)采用 KCI 提取-流动分析仪测定,土壤有效磷(AP)采用钼蓝比色法测定,土壤速效钾(AK)采用火焰光度计测定。

#### 1.3 CH4厌氧氧化速率及13C土壤有机碳分析

称取 2.000 g鲜土放入 12 mL的 Labco 顶空瓶,加 人2 mL的消菌去离子水,密封后抽真空-充氩气重复 3次以达到严格厌氧状态。室温25℃避光条件下预 培养3d,以尽可能去除残余O2的影响。预培养结束 后,再次对培养瓶抽真空-充氩气3次,置换1 mL等 量的<sup>13</sup>CH4气体(<sup>13</sup>CH4的原子百分比为99%)进行正式 厌氧培养。同时进行3种不同形态N添加处理,分别 为NH4-N、NO3-N和尿素(Urea),使瓶中最终N浓度 为5 mmol·L<sup>-1</sup>。每个稻田土壤设置4个N添加培养处 理:①无N处理,仅添加<sup>13</sup>CH<sub>4</sub>;②添加<sup>13</sup>CH<sub>4</sub>和NH<sup>1</sup><sub>4</sub>-N; ③添加<sup>13</sup>CH<sub>4</sub>和 NO<sub>5</sub>-N; ④添加<sup>13</sup>CH<sub>4</sub>和 Urea, 每个处 理3次重复。在第1天和第66天采用气相色谱仪 (Agilent 7890B)和同位素质谱仪(Isoprime 100)测定 厌氧培养过程中培养瓶顶空气体的CO₂浓度和13C-CO2原子百分比,根据13CO2的产生量,计算出CH4厌 氧氧化速率。

培养结束后,打开瓶盖加入2 mol·L<sup>-1</sup>的 HCl溶液

进行土壤酸化处理(去除无机碳),然后将土壤泥浆冷冻干燥后测定SOC含量及其<sup>13</sup>C-SOC丰度值。

#### 1.4 数据处理与分析

试验数据用 Microsoft Excel 2016 进行整理,用统计软件 SPSS 21.0 进行方差分析(One-way ANOVA)和多重比较(Duncan法), P<0.05 表示差异显著。用Origin 2021 软件绘制图表。

#### 2 结果与分析

#### 2.1 稻田土壤的养分特征

经过4年多的增温和施硅处理后,各试验小区 耕层土壤的肥力养分特征发生较大变化。由表1可 知,Si处理稻田耕层土壤的SOC、DOC、TN、NHI-N、 NO3-N、AK含量均显著高于CK处理,且NW+Si处理 稻田土壤的SOC、DOC、TN、NO3-N、AK含量均显著高 于NW处理,表明施加硅肥有利于稻田耕层土壤SOC 和TN的增加,以及NO=N和AK含量的提升。NW处 理稻田土壤的SOC、DOC、TN、AK含量均显著低于CK 处理稻田土壤,且NW+Si处理稻田土壤的SOC、DOC、 TN、NHI-N、NOI-N、AK含量显著低于Si处理稻田土壤, 表明夜间增温促进稻田表层土壤的SOC、TN含量降低, AK含量减小。与CK处理稻田土壤相比,NW+Si处理 稻田土壤的SOC和TN含量分别下降8.1%和2.1%,而 DOC 和 NO<sub>3</sub>-N 含量分别增加 16.4% 和 19.5%, 表明夜 间增温条件下施加硅肥的综合效应是促进了稻田土壤 的矿化过程,进一步导致土壤SOC和TN含量下降。

#### 2.2 <sup>13</sup>C-CO<sub>2</sub>丰度变化及CH<sub>4</sub>厌氧氧化速率

经过66 d 的厌氧培养后,培养瓶顶空气体中的<sup>13</sup>CO<sub>2</sub>原子百分比发生了很大变化。由图1A可知,顶空气体的<sup>13</sup>C-CO<sub>2</sub>丰度值均超过了3.0%,远高于<sup>13</sup>C的自然背景值(1.08%),证实培养瓶内进行了<sup>13</sup>CH<sub>4</sub>厌氧氧化,使得<sup>13</sup>C-CO<sub>2</sub>丰度值增加。其中,NW+Si处理的<sup>13</sup>C-CO<sub>2</sub>丰度值为4.05%,显著高于NW处理的丰度值(3.16%),说明夜间增温条件下,施硅提高了<sup>13</sup>CH<sub>4</sub>

表1 试验处理下稻田土壤的养分特征变化

Table 1 Variations of nutrient characteristics of paddy soil under experimental treatments

处理 Treatment	有机碳 SOC/(g·kg <sup>-1</sup> )	水溶性有机碳 DOC/(mg·kg <sup>-1</sup> )	总氮 TN/(g•kg <sup>-1</sup> )	铵态氮 NH‡−N/ (mg·kg <sup>-1</sup> )	硝态氮 NON/ (mg·kg-1)	有效磷 AP/ (mg·kg <sup>-1</sup> )	速效钾 AK/ (mg·kg <sup>-1</sup> )
CK	21.0±0.5b	171.0±2.7c	$1.41 \pm 0.01 \mathrm{b}$	15.8±1.1b	$11.8{\pm}0.7\mathrm{c}$	20.7±0.8ab	85.5±0.7c
NW	$18.5{\pm}0.2\mathrm{d}$	$154.0{\pm}2.7\mathrm{d}$	$1.22{\pm}0.01\mathrm{d}$	14.5±0.8b	10.8±0.8c	19.3±1.4b	$81.1 \pm 0.8 d$
NW+Si	19.3±0.1c	199.0±4.6b	$1.38{\pm}0.02c$	16.3±0.9b	14.1±0.6b	$20.9\pm0.8ab$	91.4±0.8b
Si	23.2±0.4a	216.7±5.1a	1.46±0.01a	18.0±0.9a	16.3±0.2a	22.3±0.8a	95.6±1.6a

注:不同小写字母表示同一理化性质不同土壤间存在显著差异(P<0.05)。

Note: Different lowercase letters indicate significant differences among soils at P<0.05 level.

厌氧氧化驱动的13C-CO2丰度值。值得注意的是,CK 处理稻田土壤的<sup>13</sup>C-CO<sub>2</sub>丰度值为4.46%, 显著高于 其他3种处理稻田土壤。

根据培养结束时顶空气体CO2浓度及13C-CO2丰 度值,可计算出13CO2产生量用来表征稻田CH4厌氧 氧化速率。由图1B可知,4个处理的CH4厌氧氧化速 率差异显著,其中,NW+Si、Si处理的稻田土壤CH4厌 氧氧化速率分别为 7.60、7.33 nmol·g<sup>-1</sup>·d<sup>-1</sup>(以 <sup>13</sup>CO<sub>2</sub> 计,下同),显著高于NW处理稻田土壤的氧化速率 (6.23 nmol·g<sup>-1</sup>·d<sup>-1</sup>),但三者均显著低于CK处理稻田 土壤的氧化速率(8.97 nmol·g<sup>-1</sup>·d<sup>-1</sup>)。CH<sub>4</sub>厌氧氧化 速率与13C-CO。丰度值的变化特征一致,说明顶空气 体中<sup>13</sup>CO<sub>2</sub>的原子百分比,而非CO<sub>2</sub>浓度,是导致4个 稻田土壤CH4厌氧氧化速率产生差异的主要原因。

#### 2.3 土壤有机碳的<sup>13</sup>C丰度值及<sup>13</sup>C-SOC净增量

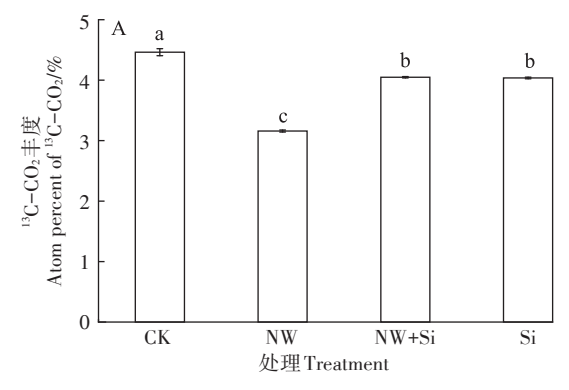
稻田土壤CH4厌氧氧化过程中,其功能微生物先 将13CH4作为碳源进行同化,在呼吸代谢过程中将其 一部分异化为13CO2,其余部分以微生物碳及其代谢

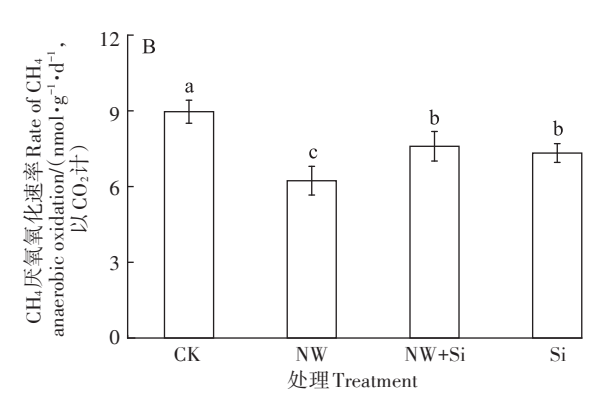
物的形式固存在SOC中。从图2A可知,所试稻田土 壤的13C-SOC丰度值均超过了1.10%,高于13C的自然 背景值,说明稻田土壤在13CH4厌氧氧化过程中,部 分13C-CH4被同化进入SOC中,使其13C丰度值增加。 其中, NW 处理稻田土壤的13C-SOC丰度值为 1.138%,显著高于NW+Si处理稻田土壤的丰度值。 CK 处理稻田土壤的<sup>13</sup>C-SOC 丰度值为1.158%, 显著 高于Si处理稻田土壤。

根据培养结束时SOC的含量及13C丰度值,可计 算出13C-SOC净增量用来表征稻田土壤CH4厌氧氧化 驱动的固碳特征。由图 2B 可知,4个处理稻田的土 壤<sup>13</sup>C-SOC净增量差异显著。其中,Si处理稻田土壤 的<sup>13</sup>C-SOC 净增量为 0.38 μmol·g<sup>-1</sup>, 显著高于其他 3 个处理的稻田土壤。CK处理稻田土壤的13C-SOC净 增量为0.34 μmol·g<sup>-1</sup>,显著高于NW处理和NW+Si处 理稻田土壤的<sup>13</sup>C-SOC净增量。

#### 2.4 CH4厌氧氧化的13C总转化量及固碳效率

底物13CH4在微生物的代谢作用下一部分同化后

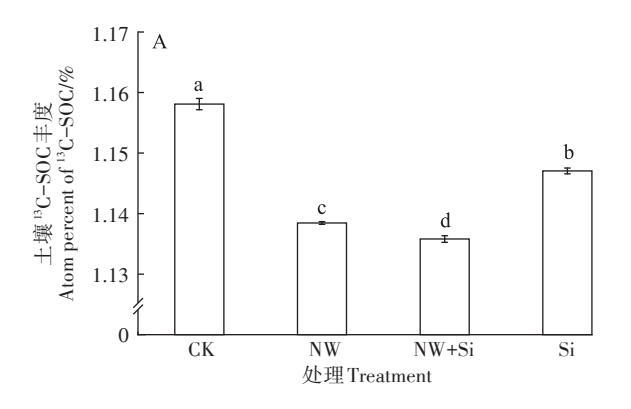




不同小写字母表示处理间存在显著差异(P<0.05)。下同 Different lowercase letters indicate significant difference among treatments at P<0.05. The same below

#### 图 1 顶空气体中 13C-CO2 丰度和稻田土壤的 CH4 厌氧氧化速率

Figure 1 Atom percentage of <sup>13</sup>C-CO<sub>2</sub> and rates of CH<sub>4</sub> anaerobic oxidation in different treatments



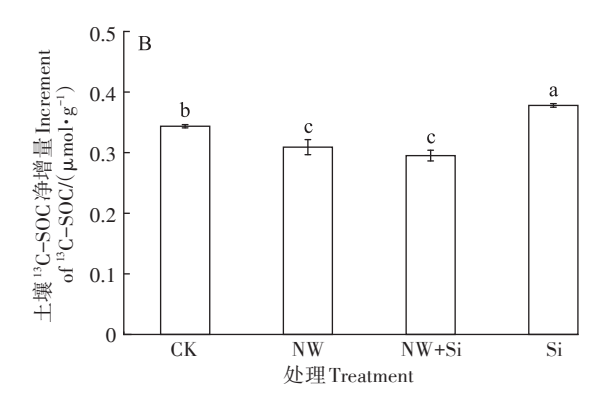


图2 不同处理下稻田土壤<sup>13</sup>C-SOC的丰度值和净增量

Figure 2 Atom percentage and net increment of 13C-SOC in different treatments

**13** 476 农业环境科学学报 第42卷第2期

进入 SOC 组分中固存为 <sup>13</sup>C-SOC,一部分异化为 <sup>13</sup>C-CO<sub>2</sub>,两者之和可表征 CH<sub>4</sub>氧化的 <sup>13</sup>C 总转化量( <sup>13</sup>C-SOC+<sup>13</sup>C-CO<sub>2</sub>), <sup>13</sup>C-SOC与 <sup>13</sup>C 总转化量之比可表征 CH<sub>4</sub>厌氧氧化的固碳效率。由图 3A 可见,4个稻田土壤 CH<sub>4</sub>厌氧氧化的 <sup>13</sup>C 总转化量差异显著。其中,Si处理稻田土壤的 <sup>13</sup>C 总转化量为 0.86 μmol·g<sup>-1</sup>,显著高于 NW+Si处理的稻田土壤。NW 处理稻田土壤的 <sup>13</sup>C 总转化量为 0.71 μmol·g<sup>-1</sup>,显著低于 CK 处理的稻田土壤。由图 3B 可见,4个处理稻田土壤 CH<sub>4</sub>厌氧氧化的固碳效率范围为 37%~45%。其中,Si处理稻田土壤的固碳效率为 45%,显著高于 CK 处理稻田土壤;NW+Si处理稻田土壤的固碳效率为 37%,显著低于 NW 处理稻田土壤。

## 2.5 增温/施硅稻田土壤 CH<sub>4</sub>厌氧氧化速率对 N 输入的响应

在测定 CH4 厌氧氧化速率的培养试验中,分别添加 NH4-N、NO3-N和 Urea 进行培养,以模拟增温和施硅稻田在田间施加化学 N肥情景下 CH4氧化过程的变化特征。由图 4可知,3种形态的 N输入对所试稻田土壤 CH4 厌氧氧化速率的影响效应各异。其中,添加 NH4-N条件下,Si 处理稻田土壤的 CH4氧化速率为

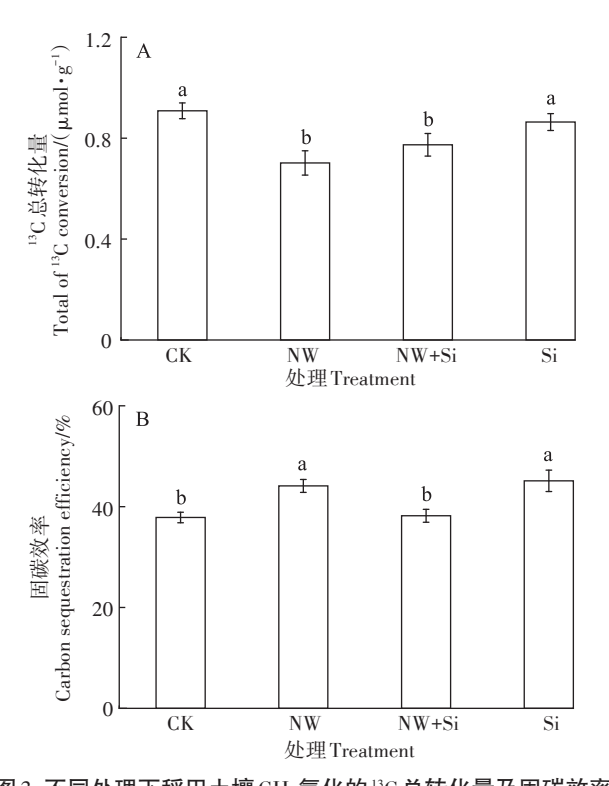


图 3 不同处理下稻田土壤 CH<sub>4</sub>氧化的<sup>13</sup>C 总转化量及固碳效率 Figure 3 Total conversion of <sup>13</sup>C-CH<sub>4</sub> and carbon sequestration efficiency in different treatments

3.68 nmol·g<sup>-1</sup>·d<sup>-1</sup>,显著低于NW+Si处理稻田土壤的氧化速率(4.91 nmol·g<sup>-1</sup>·d<sup>-1</sup>)。CK处理稻田土壤的CH<sub>4</sub>氧化速率为7.08 nmol·g<sup>-1</sup>·d<sup>-1</sup>,显著高于NW+Si处理的稻田土壤。添加NO<sub>3</sub>-N条件下,NW处理稻田土壤的CH<sub>4</sub>氧化速率为4.93 nmol·g<sup>-1</sup>·d<sup>-1</sup>,显著高于Si处理稻田土壤的氧化速率(3.12 nmol·g<sup>-1</sup>·d<sup>-1</sup>),而显著低于NW+Si处理稻田土壤的氧化速率(6.53 nmol·g<sup>-1</sup>·d<sup>-1</sup>)。CK处理稻田土壤的氧化速率(6.53 nmol·g<sup>-1</sup>·d<sup>-1</sup>)。CK处理稻田土壤的CH<sub>4</sub>氧化速率则与NW+Si处理稻田土壤的CH<sub>4</sub>氧化速率为5.21 nmol·g<sup>-1</sup>·d<sup>-1</sup>,显著低于NW+Si处理稻田土壤;NW处理稻田土壤的CH<sub>4</sub>氧化

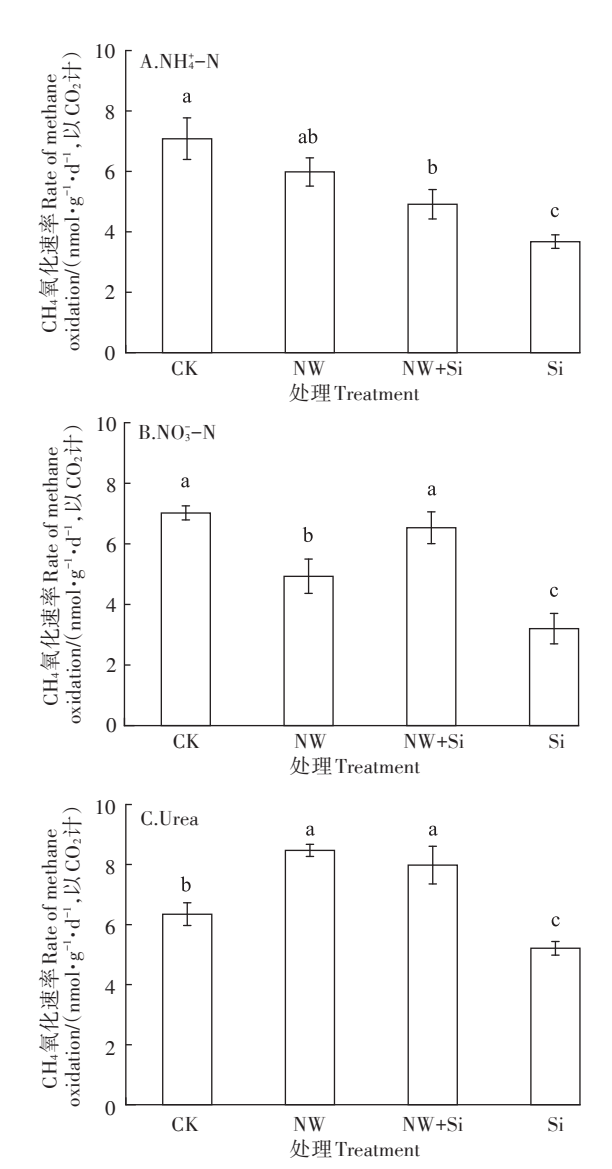


图 4 添加 NH;-N、NO;-N、尿素条件下稻田土壤的 CH4厌氧 氧化速率变化

Figure 4 The rate of CH<sub>4</sub> anaerobic oxidation under addition of NH<sub>4</sub><sup>\*</sup>-N, NO<sub>3</sub><sup>\*</sup>-N, and Urea

速率为8.47 nmol·g<sup>-1</sup>·d<sup>-1</sup>,显著高于CK处理稻田土壤。

综合来看,与无N添加相比,4个处理的稻田土壤 CH4厌氧氧化速率均有不同程度的下降(添加 Urea 的 NW 处理稻田除外),说明施加N肥对所试增温和施硅 稻田土壤CH4厌氧氧化过程呈一定的抑制效应,其中, 以Si处理的稻田土壤最为明显,CH4氧化速率下降 29%~50%

#### 2.6 CH4氧化过程驱动的<sup>13</sup>C-SOC净增量对 N 输入的 响应

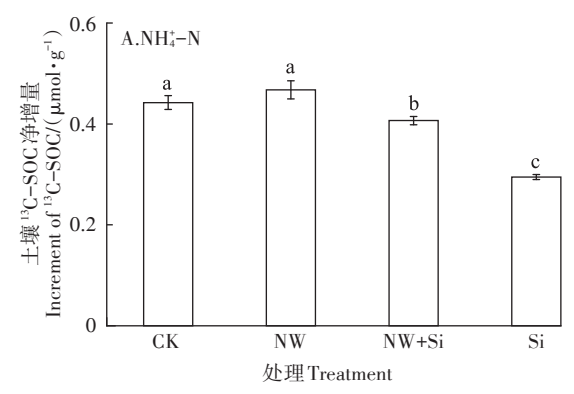
由图5可知,3种形态的氮输入对所试稻田土壤 CH4厌氧氧化驱动的13C-SOC净增量的影响效应各 异。其中,添加NHI-N条件下,NW+Si处理稻田土壤 的<sup>13</sup>C-SOC 净增量为 0.41 μmol·g<sup>-1</sup>, 显著高于 Si 处理 稻田土壤的净增量(0.29 µmol·g<sup>-1</sup>), 而显著低于NW 处理稻田土壤。添加NO3-N条件下,NW+Si处理稻 田土壤的<sup>13</sup>C-SOC净增量为 0.35 μmol·g<sup>-1</sup>,显著高于 NW 处理稻田土壤的净增量(0.24 μmol·g<sup>-1</sup>), 而 Si 处 理稻田土壤的净增量最低。添加 Urea 条件下, NW+Si 处理和Si处理稻田土壤的13C-SOC净增量均显著高 于NW处理稻田土壤。

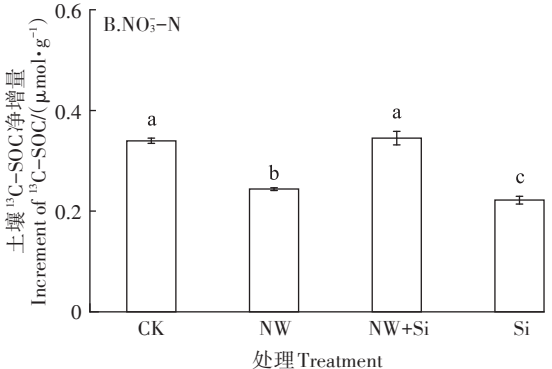
整体来看,与无N添加相比,添加NH;-N条件下 4个处理稻田土壤的13C-SOC净增量均有不同程度的 增加,说明施加NHI-N肥可促进所试增温和施硅稻 田土壤CH4厌氧氧化过程的固碳量。相反,与无N添 加相比,添加NO3-N和Urea条件下4个处理稻田土壤 的13C-SOC净增量没有发生明显增减,说明这两种形 态的 N 输入对稻田土壤 CH4 厌氧氧化驱动的固碳量 无明显影响作用。与无N添加相比,添加NO3-N条件 下4个处理稻田土壤13CH4总转化量的平均值明显减 小,尤其以Si处理稻田土壤最为突出,下降了39%;而 添加NH‡-N和Urea条件下4个稻田土壤13CH4总转化 量的变化较小。

#### 2.7 CH4氧化过程驱动的固碳效率对 N 输入的响应

由图6可见,4个处理的稻田土壤CH4厌氧氧化驱 动的固碳效率差异显著。其中,添加NH;-N条件下,CK 处理稻田土壤的固碳效率为49%,显著高于其他3个处 理土壤。添加NO3-N条件下,Si处理稻田土壤的固碳 效率为51%,显著高于其他3个处理稻田土壤。添加 Urea条件下,NW处理稻田土壤的固碳效率为29%,显 著低于其他3个处理稻田土壤;Si处理稻田土壤的固碳 效率为54%,显著高于其他3个处理稻田土壤。

综合来看,与无N添加相比,添加NH;-N、NO;-N 和 Urea 条件下(添加 Urea 的 NW 处理稻田土壤除





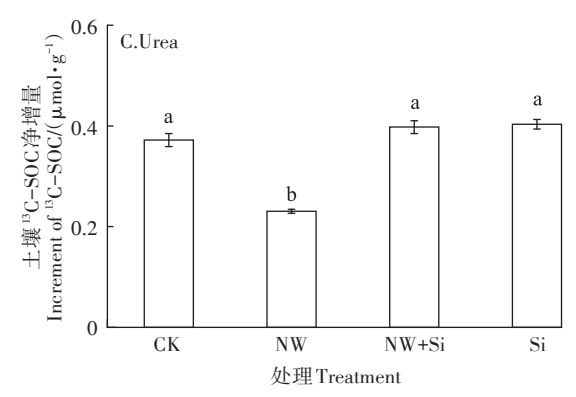


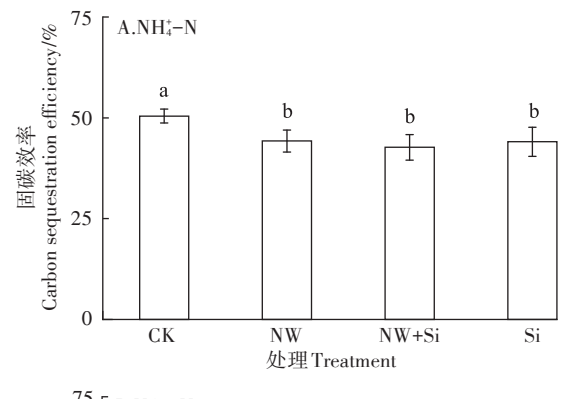
图 5 添加 NH4-N、NO3-N、尿素条件下稻田 土壤13C-SOC的净增量

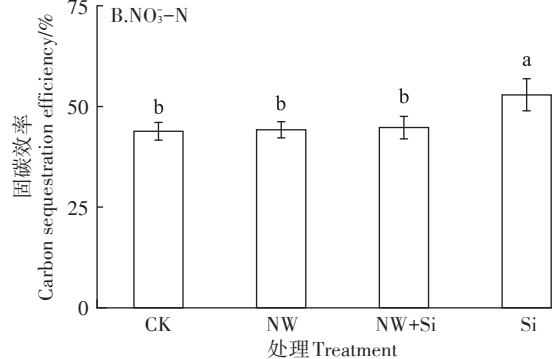
Figure 5 The net increment of <sup>13</sup>C-SOC under the addition of NH<sub>4</sub><sup>+</sup>-N, NO<sub>3</sub><sup>-</sup>-N, and Urea

外),4个处理稻田土壤CH4厌氧氧化驱动的固碳效率 均有不同程度的上升,说明所试稻田在CH4厌氧氧化 过程中,施加这3种N肥均可促进更高比例的13C-CH4被同化代谢为13C-SOC。其中,以Si处理稻田土 壤最为明显,添加N条件下其固碳效率均超过50%, 高于无N条件下的固碳速率(45%)。

#### 讨论 3

CH4厌氧氧化作用是稻田土壤CH4消减的重要过 程。本试验中,厌氧培养结束后顶空气体中<sup>13</sup>CO<sub>2</sub>的 丰度值均大于3.0%,远高于13C自然丰度值(1.08%),





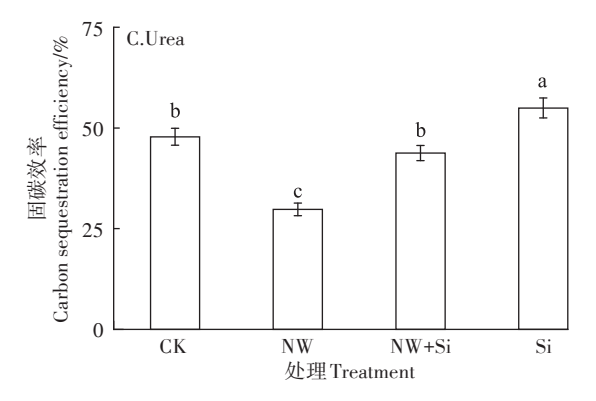


图 6 添加 NH;-N、NO;-N、尿素条件下土壤 CH4氧化的固碳效率 Figure 6 The carbon sequestration efficiency under addition of NH;-N, NO;-N, and Urea

说明培养土壤中确实发生了CH<sub>4</sub>厌氧氧化过程。其氧化速率范围为6.23~8.97 nmol·g<sup>-1</sup>·d<sup>-1</sup>,与其他湿地的研究结果基本一致<sup>[12]</sup>。CH<sub>4</sub>厌氧氧化作用主要由其功能微生物在厌氧条件下以CH<sub>4</sub>为唯一碳源和电子供体,以O<sub>2</sub>分子之外的其他氧化性物质为电子受体,进行氧化还原反应完成CH<sub>4</sub>的转化<sup>[13]</sup>。这些氧化性物质包括SO<sub>4</sub><sup>-1</sup>、NO<sub>2</sub>/NO<sub>3</sub>、Fe<sup>3+</sup>/Mn<sup>4+</sup>和胡敏酸等<sup>[14]</sup>。Ettiwig等<sup>[15]</sup>报道,以NO<sub>2</sub>为电子受体的*M.oxyfera* 细菌可将CH<sub>4</sub>转化为CO<sub>2</sub>,再通过卡尔文循环同化CO<sub>2</sub>。Hu等<sup>[16]</sup>的报道指出,以NO<sup>4</sup>为电子受体的ANME-2d 古菌可通过逆向产CH<sub>4</sub>途径将CH<sub>4</sub>氧化为甲基-H<sub>4</sub>MPT,其既可进入乙酰辅酶A途径合成微生物生物量,又可

经过一系列的酶促反应最终转化为CO2。本试验发 现,所试稻田土壤CH4厌氧氧化驱动的固碳效率为 29%~54%,低于 Zhang 等[17]的研究中滨海围垦稻田 CH4厌氧氧化的固碳效率为65%的结果。Shen等[18] 报道河道沉积物中M. oxyfera 细菌的固碳效率仅为 9%。有研究认为[19], M. oxyfera 细菌在碳同化过程中, 既可以同化CH4转化而来的CO2,也可以同化土壤环 境中的体外CO2,从而造成其对底物CH4的碳同化效 率较低。相对而言, ANME-2d 古菌与 M. oxvfera 细菌 的碳同化路径不同,前者碳同化效率高于后者[20]。本 试验中CH4厌氧氧化速率及碳同化量是土壤中各种 不同电子受体共同参与的综合结果,从固碳效率来 看,M. oxyfera 细菌应该不是所试稻田土壤CH4碳同化 的主要贡献者,其较高的固碳效率也说明稻田土壤 CH4厌氧氧化过程是微生物固碳、提高SOC的一个有 效涂径。

本试验发现,不施加硅肥条件下夜间增温稻田 土壤CH4厌氧氧化速率显著低于夜间常温稻田土 壤,受此影响,13CH4总转化量也显著降低,说明夜间 增温抑制了稻田CH4厌氧氧化过程。本试验不同稻 田土壤均在25 ℃条件下厌氧培养,通过<sup>13</sup>CO<sub>2</sub>产生量 和<sup>13</sup>C-SOC净增量分别表征氧化速率和碳同化量。 因此,培养温度不应是造成两种稻田CH4厌氧氧化特 征产生显著差异的原因。事实上,经过4年多的增温 处理后,表层土壤的理化性质发生了较大改变,表现 为其总有机碳、活性有机碳、矿质态氮、AP和AK均显 著低于常温对照稻田。这种土壤养分元素的普遍下 降会严重抑制土壤微生物的活性,包括CH4厌氧氧化 微生物[21]。Shen等[22]报道, M. oxyfera细菌的活性与土 壤全N、活性N含量显著正相关。Lou等[23]报道 ANME-2d 古菌的活性与SOC、NO3-N含量密切相关。 Valenzuela等[24]报道土壤胡敏酸可充当CH4厌氧氧化 的电子受体和电子传递体,两者之间存在显著正相 关。因此,本试验中,夜间增温处理下土壤养分的普遍 匮乏可能是导致 CH4 厌氧氧化速率减小的主要原因, 这将对稻田CH4排放通量产生影响。刘燕等凹报道, 夜间增温条件下,田间CH4排放通量增大,认为其原因 之一是CH4氧化速率下降。

本试验还发现,夜间增温条件下施加硅肥显著提高了稻田土壤的 CH4厌氧氧化速率,而对 C-SOC净增量则无明显影响。据刘燕等叫报道,施硅降低了增温稻田土壤的 CH4排放通量,推测可能是 CH4氧化速率增大所致。有研究认为施用的钢渣硅肥中含有的

丰富铁元素,可作为电子受体促进CH4厌氧氧化过 程[25-26]。前期试验发现,施硅和增温均显著影响水稻 生长。与对照处理相比,施硅可使水稻成熟期地上 部和地下部生物量分别增加14.2%和6.5%,夜间增 温则使这两项指标分别减少8.2%和3.3%[10],秸秆还 田后这些不同数量的有机物质对稻田SOC含量变化 将产生重要影响。而且,水稻植株在合成植硅体过程 中会包裹部分有机碳而形成植硅体闭蓄态碳,其具有 很强的抗氧化性和稳定性。因此,施硅处理下,水稻 合成较多的植硅体,有利于SOC的累积。本试验发现 夜间增温条件下,施硅稻田耕层土壤SOC、DOC、TN、 NO3-N和AK等含量大幅提升,均显著高于不施硅稻 田土壤。这种土壤养分特征的变化非常有利于土壤 CH4厌氧氧化微生物的活性和生长。另外,这种养分 提升驱动的土壤环境变化对不同微生物的影响效应 各异。本试验发现,Si处理的稻田土壤CH4厌氧氧化 速率显著低于CK处理稻田。CH4厌氧氧化微生物属 于严格厌氧型,以CH4为唯一碳源和能源,其养分竞 争力低,生长代谢速率极其缓慢,极易被快速生长 且养分竞争力强的微生物所抑制[21]。Shi 等[27]报道 稻田土壤中NO2/NO3优先被反硝化微生物利用,而 M. oxyfera 细菌和 ANME-2d 古菌难以获得充分的电 子受体而被抑制。另外,钢渣硅肥属于碱性肥料,施 用后土壤 pH 值上升,对 M. oxyfera 细菌和 ANME-2d 古菌也会造成不利影响[26]。这种养分改善驱动的其 他微生物对CH4厌氧氧化微生物的抑制效应可能远 高于养分匮乏对CH4厌氧氧化微生物的抑制效应,从 而导致Si处理的稻田土壤CH4厌氧氧化速率低于CK 处理稻田土壤。

外源 N 肥对增温/施硅稻田的 CH4 厌氧氧化过程 有重要的影响。整体来看,施加3种不同形态N条件 下,稻田CH4厌氧氧化速率均明显下降,固碳效率却 增加,以Si处理稻田最为明显。施加N素降低了土壤 的 C/N, 有利于提高土壤微生物的活性, 如有机质矿 化微生物、反硝化细菌、厌氧氨氧化菌等[21,27],这对 CH4厌氧氧化菌会产生竞争性抑制作用[28]。在Si稻田 中因土壤养分含量高,其对CH4厌氧氧化菌的这种抑 制作用更为明显。不同的N形态对CH4厌氧氧化过 程影响也各异[29-30]。例如,添加NH‡-N促进了增温/ 施硅稻田的13C-SOC净增量,而添加NO3-N则降低了 稻田的13C-CH4总转化量。这可能是因为NH4-N作 为微生物喜好N源,促进了CH4厌氧氧化菌的生长繁 殖,促使更多的<sup>13</sup>CH4底物被同化固定在土壤微生物

碳中,有利于SOC的积累。另外,添加NO;-N可能极 大促进了以有机酸为碳源的经典反硝化过程,从而对 CH4厌氧氧化过程产生了强烈抑制[21],其中Si处理稻 田土壤中活性有机碳含量高,其抑制效应更为明显。 因此,总体而言,外源N肥降低了所试稻田的CH4厌 氧氧化速率,提高了其固碳效率;在4种处理稻田中 Si处理稻田土壤对外源N肥的响应度最高。这为通 过合理施肥来缓解稻田 CH4排放提供了一个可能的 有效涂径。

#### 4 结论

- (1)夜间增温抑制了稻田土壤的CH4厌氧氧化速 率,施硅可极大缓解这种抑制效应,这与增温/施硅促 使土壤养分特征发生改变密切相关。
- (2)外源N降低了增温/施硅稻田的CH4厌氧氧化 速率,却提高了其固碳效率,有利于土壤有机碳积累。

#### 参考文献:

- [1] CONRAD R. The global methane cycle: Recent advances in understanding the microbial processes involved[J]. Environmental Microbiology Reports, 2009, 1(5):285-292.
- [2]BRIDGHAM S D, CADILLO-QUIROZ H, KELLER J K, et al. Methane emissions from wetlands: Biogeochemical, microbial, and modeling perspectives from local to global scales[J]. Global Change Biology, 2013, 19(5):1325-1346.
- [3] 董文军,来永才,孟英,等.稻田生态系统温室气体排放影响因素的 研究进展[J]. 黑龙江农业科学, 2015(5):145-148. DONG W J, LAI Y C, MENG Y, et al. Research progress of greenhouse gases emission in paddy field ecosystems[J]. Heilongjiang Agricultural Sciences, 2015(5):145-148.
- [4] IPCC. Climate change 2014; Impacts, adaptation, and vulnerability. Part A: Global and sect oral aspects. Contribution of working group II to the fifth assessment report of the intergovernmental panel on climate change[R]. Cambridge: Cambridge University Press, 2014: 1-32.
- [5] LUESKEN F A, VAN ALEN T A, VAN DER BIEZEN E, et al. Diversity and enrichment of nitrite-dependent anaerobic methane oxidizing bacteria from wastewater sludge[J]. Applied Microbiology and Biotechnology, 2011, 92(4):845-854.
- [6] DEUTZMANN J S, SCHINK B. Anaerobic oxidation of methane in sediments of Lake Constance, an oligotrophic freshwater lake[J]. Applied and Environmental Microbiology, 2011, 77(13):4429-4436.
- [7] ETTWIG K F, SHIMA S, VAN DE PAS-SCHOONEN K T, et al. Denitrifying bacteria anaerobically oxidize methane in the absence of Archaea[J]. Environmental Microbiology, 2008, 10(11):3164-3173.
- [8] 高臣, 刘俊渤, 常海波, 等. 硅对水稻叶片光合特性和超微结构的影 响[J]. 吉林农业大学学报, 2011, 33(1):1-4. GAO C, LIU J B, CHANG H B, et al. Effects of silicon on rice leaf photosynthesis and ultrastructure[J]. Journal of Jilin Agricultural University, 2011, 33(1):

REA

1-4

- [9] DADA LSO. 水稻蔗糖合成相关酶活性和基因表达及产量对硅营养的响应[D]. 哈尔滨: 东北农业大学, 2016. DADA LSO. Rice silicon nutrition influence on sucrose synthesis related enzyme activity, gene expression and production[D]. Harbin: Northeast Agricultural University, 2016.
- [10] 郑泽华, 娄运生, 左慧婷, 等. 施硅对夜间增温条件下水稻叶片生理特性的影响[J]. 中国农业气象, 2017, 38 (10): 663-671. ZHENG Z H, LOU Y S, ZUO H T, et al. Effect of silicate application on rice physiological properties under nighttime warming[J]. Chinese Journal of Agrometeorology, 2017, 38(10):663-671.
- [11] 刘燕, 娄运生, 杨蕙琳, 等. 施硅对增温稻田 CH₄和 N₂O 排放的影响 [J]. 生态学报, 2020, 40(18):6621-6631. LIU Y, LOU Y S, YANG H L, et al. Effects of silicate supply on the emissions of methane and nitrous oxide in paddy field under night time warming[J]. Acta Ecologica Sinica, 2020, 40(18):6621-6631.
- [12] SHEN L D, LIU S, HE Z F, et al. Depth-specific distribution and importance of nitrite-dependent anaerobic ammonium and methane-oxidising bacteria in an urban wetland[J]. Soil Biology & Biochemistry, 2015, 83;43-51.
- [13] SMEMO K A, YAVITT J B. Evidence for anaerobic CH<sub>4</sub> oxidation in freshwater peatlands[J]. Geomicrobiology Journal, 2007, 24(7):583– 597.
- [14] 沈李东. 亚硝酸盐型甲烷厌氧氧化微生物生态学研究进展[J]. 土壤学报, 2015, 52(4):713-722. SHEN L D. A review of study on microbial ecology of nitrite-dependent anaerobic methane oxidation [J]. Acta Pedologica Sinica, 2015, 52(4):713-722.
- [15] ETTWIG K F, BUTLER M K, PASLIER D L, et al. Nitrite-driven anaerobic methane oxidation by oxygenic bacteria[J]. *Nature*, 2010, 464 (7288):543-548.
- [16] HU B L, SHEN L D, LIAN X, et al. Evidence for nitrite-dependent anaerobic methane oxidation as a previously overlooked microbial methane sink in wetlands[J]. Proceedings of the National Academy of Sciences, 2014, 111(12):4495-4500.
- [17] ZHANG Y H, WANG F Y, XIA W W, et al. Anaerobic methane oxidation sustains soil organic carbon accumulation[J]. Applied Soil Ecology, 2021, 167:104021.
- [18] SHEN L D, OUYANG L, ZHU Y Z, et al. Active pathways of anaerobic methane oxidation across contrasting riverbeds[J]. *The ISME Jour*nal, 2019, 13:752–766.
- [19] RASIGRAF O, KOOL D M, JETTEN M S, et al. Autotrophic carbon

- dioxide fixation via the Calvin-Benson-Bassham cycle by the denitrifying methanotroph "Candidatus Methylomirabilis oxyfera"[J]. Applied and Environmental Microbiology, 2014, 80(8):2451-2460.
- [20] KURTH J M, SMIT N T, BERGER S, et al. Anaerobic methanotrophic archaea of the ANME-2d clade feature lipid composition that differs from other ANME archaea[J]. FEMS Microbiology Ecology, 2019, 95 (7): fiz082.
- [21] YU H, KASHIMA H, REGAN J M, et al. Kinetic study on anaerobic oxidation of methane coupled to denitrification[J]. Enzyme and Microbial Technology, 2017, 104;47-55.
- [22] SHEN L D, TIAN M H, CHENG H X, et al. Different responses of nitrite- and nitrate-dependent anaerobic methanotrophs to increasing nitrogen loading in a freshwater reservoir[J]. Environmental Pollution, 2020, 263:114623.
- [23] LOU J Q, LÜ J, YANG D Y. Effects of environmental factors on nitrate-DAMO activity[J]. Water, Air, & Soil Pollution, 2020, 231:263.
- [24] VALENZUELA E I, CERVANTES F J. The role of humic substances in mitigating greenhouse gases emissions: Current knowledge and research gaps[J]. Science of the Total Environment, 2021,750:141677.
- [25] WANG W, SARDANS J, LAI D Y F, et al. Effects of steel slag application on greenhouse gas emissions and crop yield over multiple growing seasons in a subtropical paddy field in China[J]. Field Crops Research, 2015, 171:146-156.
- [26] ALI M A, OH J H, KIM P J. Evaluation of silicate iron slag amendment on reducing methane emission from flood water rice farming[J]. Agriculture, Ecosystems & Environment, 2008, 128(1/2):21-26.
- [27] SHI Y, HU S, LOU J, et al. Nitrogen removal from wastewater by coupling anammox and methane-dependent denitrification in a membrane biofilm reactor[J]. Environmental Science & Technology, 2013, 47:11577-11583.
- [28] 沈李东, 金靖昊, 刘心. 内陆湿地与水体甲烷厌氧氧化功能微生物研究进展[J]. 生态学报, 2022, 42(9): 3842-3855. SHEN L D, JIN J H, LIU X. Research progress on anaerobic methanotrophs in inland wetlands and freshwater aquatic systems[J]. Acta Ecologica Sinica, 2022, 42(9): 3842-3855.
- [29] ZHANG Y H, ZHANG X L, WANG F Y, et al. Exogenous nitrogen addition inhibits sulfate-mediated anaerobic oxidation of methane in estuarine coastal sediments[J]. Ecological Engineering, 2020, 158: 106021
- [30] BEAL E J, HOUSE C H, ORPHAN V J. Manganese-and iron-dependent marine methane oxidation[J]. *Science*, 2009, 325:184-187.

(责任编辑:朱晓昱)